

# ابعاد مولکولی مختل نشده پلی آکریل آمید در آب و در محلول یک مولار سدیم کلرید

Unperturbed Molecular Dimensions of Polyacrylamide in Water and 1M Sodium Chloride Solution

محمد حسین رفیعی فود

دانشگاه تهران، دانشکده طنوم

دریافت: ۷۳/۴/۱۶، پذیرش: ۷۳/۸/۱۸

## چکیده

سونه‌هایی از پلی آکریل آمید به طریق رادیکالی در آب، به کمک آغازگر ۴ و ۴- آزو- بیس - ۴- سیانو - پتانوئیک اسید، ACV، تهیه شدند. پلیمرها بازیابی و گرانزوی ذاتی آنها اندازه گیری شد. آن‌گاه، با استفاده از رابطه بورچارد - فیکسمن - استوک مایر، ابعاد مولکولی مختل نشده آنها محاسبه و نتایج با مقادیر گزارش شده توسط سایر پژوهشگران مقایسه و تحلیل شد.

واژه‌های کلیدی: پلی آکریل آمید، ابعاد مولکولی، مختل نشده، محلول سدیم کلرید، آب

Key Words: polyacrylamide, molecular dimensions, unperturbed, Sodium chloride solution, water

## مواد

آکریل آمید از شرکت شیمیایی BDH، در دو مرحله در کلرو فرم متبلور شد و در اون خلاه به مدت سه روز و در دمای معمولی خشک شد. آکریل آمید تخلیص شده با نقطه ذوب  $C = 5 \pm 0.84$  تا هنگام مصرف در فریزر نگهداری شد. طیفهای GPC محلول آکریل آمید در آب، هم به هنگام خالص‌سازی آن و هم پس از چهار ماه یکسان بودند که دلیلی بر عدم انجام واکنش پلیمر شدن در دوران نگهداری مونومر در فریزر است.

۴،۴- آزو - بیس - ۴ - سیانو - پتانوئیک اسید (ACV) از شرکت شیمیایی آلمدیج به شرح زیر خالص‌سازی شد. ACV در دمای معمولی به صورت ذرات معلق در آب مقطر درآمد که با اضافه کردن سدیم بی‌کربنات جامد، حل شد. محلول حاصل با HCl یک مولار کمی اسیدی شد که در نتیجه ACV رسوب کرد. ACV جامد صاف و با آب

مقدمه  
پلی آکریل آمید همراه با کوپلیمرهای آنیونی و کاتیونی و مشتقان آن از مهمترین گروههای پلیمری محلول در آب هستند که در صنایع امروزی مصرف وسیع یافته‌اند [۱، ۲]. مهمترین زمینه مصرف این مواد در تصفیه خانه‌های آب، فاضلاب و ازدیاد برداشت از مخازن نفت (Enhanced Oil Recovery, EOR) است [۳]. برای درک بهتر خواص محلولهای ریق پلی آکریل آمید، محاسبه ابعاد مولکولی مختل نشده این ماده در آب و در محلول یک مولار سدیم کلرید مسئله قابل توجهی است.

تجربی  
در این بخش مواد، دستگاهها و روش‌های مورد استفاده بحث می‌شود.

انجام شده در مرحله ذوب و تجزیه احتمالی آغازگر در اثر نور معمولی آزمایشگاه، کمتر از ۱٪ تبدیل در خلال فرایند ذوب - انجماد صورت می‌گیرد. این تبدیل با شکستن آمپول و رسوبگیری پلیمر در غیرحال شخص شد. آمپولها پس از مسدود شدن، به مدت معین در حمام آب گرم با دمای مشخص قرار گرفتند، تا واکنش پلیمر شدن در آنها انجام گیرد. در زمان تعیین شده آمپولها از حمام آب گرم خارج و در نیتروژن مایع سرد شدند تا از پیشرفت واکنش جلوگیری شود. چون در همان لحظات اولیه که آمپول در حمام آب گرم قرار می‌گیرد پلیمر تشکیل می‌شود که از طریق شکستن آمپول و رسوبگیری پلیمر به روش معمول شخص می‌شود، بنابراین زمان بازداری صفر است. و بدین ترتیب معلوم می‌شود که فرایند خروج هوا (اکسیژن) کامل بوده است.

#### بازیابی پلیمر

در این مرحله پلیمر درون هر آمپول به بشری منتقل می‌شود که دارای مقدار کمی هیدروکسیون و آب مقطر است که پس از چند روز مخلوط پلیمری یکتواختی حاصل می‌شود. مخلوط یکتواخت قطره قطره وارد ظرف بزرگی می‌شود که دارای اتانول است و با یک بهمن زن (سیلورسان مدل ۲LR) به هم می‌خورد. رسوب دادن پلیمر به سرعت انجام می‌گیرد تا از تخریب احتمالی آن جلوگیری شود [۵]. در مرحله بعد رسوب پلیمر با بوته شیشه‌ای متخلخل (sintered glass crucible) شماره ۳ صاف و با اتانول شسته می‌شود تا موتومر باقیمانده و آغازگر خارج شوند. سپس پلیمر در شرایط خلاء و دمای  $50^{\circ}\text{C}$  تا وزن ثابت، خشک می‌شود. معمولاً فرایند خشک کردن پلیمر بیش از یک هفته به طول می‌انجامد.

#### اندازه گیری گرانزوی ذاتی

گرانزوی ذاتی به طور سنتی از روابط هوگینس (Huggins) [۶]

$$\eta_{sp}/C = [\eta] + K[\eta]^2 C \quad (1)$$

$$\eta_{sp} = (t - t_0)/t_0 \quad (2)$$

محاسبه می‌شود که برای پلیمرهای غیر الکترولیت بیان شده است. در این روابط  $\eta_{sp}/C$  گرانزوی ویژه، ازمان ریزش محلول پلیمر از لوله موین گرانزوی سنج،  $t$  ازمان ریزش حلال خالص،  $C$  غلظت محلول پلیمر (معمولًا بر حسب  $\text{cm}^3/\text{g}$ )،  $K$  ثابت هوگینس و  $[\eta]$  گرانزوی ذاتی پلیمر است.

رسم  $(\eta_{sp}/C)$  بر حسب  $C$  خط مستقیمی به دست می‌دهد که عرض از مبدأ آن  $[\eta]$  و ضریب زاویه‌اش  $K[\eta]$  است. از آنجاکه

یعنی شسته شد و در دمای معمولی در اون خلاء خشک شد، طیفهای IR و NMR ساختار ACV را تایید کرد. طیف UV آن در  $342/308\text{ nm}$  جذب گروههای آزو را نشان داد. اتانول Methylated Spirits (Unalco) برای رسوب دادن پلیمر مورد استفاده قرار گرفت.

#### دستگاهها

#### خط خلاء

یک خط خلاء شیشه‌ای با قدرت تخلیه بسیار بالا ( $8\text{-}1\text{ میلی متر جیوه}$ ) مجهز به پمپ تخلیه روغنی و پمپ نفوذ جیوه‌ای (mercury diffusion pump) جهت اکسیژن زدایی محلول موتومر و آغازگر مورد استفاده قرار گرفت.

#### گرانزوی سنج

زمان ریزش حلالتا و محلول پلیمرها در آب و در محلول یک مولار سدیم کلرید در  $25^{\circ}\text{C}$  توسط گرانزوی سنج آبلهود (ubbelohde) با سرعت برشی بالا [۴] اندازه گیری شد. در تمام اندازه گیریهای گرانزوی سنجی، محلول یکتواخت پلیمرها با افزودن حلال به نمونه‌های پلی آکریل آمید خشک (با تکان دادن دستی و بدون نیاز به گرم کردن و همزدن مکانیکی)، تهیه شد. اندازه گیریهای گرانزوی سنجی در غلظتها ۱ تا  $4\text{ g/cm}^3$  در لیتر محلول پلیمر و بانمونهای تازه انجام گرفت تا از پیری آنها جلوگیری شود [۵].

#### ظرف واکنش پیرکس

آمپولهای شیشه‌ای پیرکس با قطر خارجی  $24\text{ میلی متر}$ ، قطر داخلی  $20\text{ میلی متر}$  و طول  $20\text{ سانتی متر}$ ، با گردنبه طول  $22\text{ سانتی متر}$  حاوی لوله موین با مجرایی به قطر  $4\text{ mm}$  که به یک رابط  $B10$  ختم می‌شد، به عنوان ظرف پلیمر شدن آکریل آمید ساخته شدند و مورد استفاده قرار گرفتند.

#### روشها

#### پرسودن آمپولها

محلول آکریل آمید و ACV تهیه شده تا هنگام تزریق آنها به کمک یک سرنگ به درون آمپول، در تاریکی و در یخچال نگهداری شدند. تمام آمپولها پس از پرسودن به خط خلاء متصل شدند تا فرایند ذوب - انجماد (حداقل سه بار) برای خروج کامل هوا در آنها انجام شود. پس از خروج کامل هوا، آمپولها در حالی که همچنان به خط خلاء متصل بودند، به کمک شعله مسدود شدند. مشاهده شد که به علت واکنش

برابر  $2 \times 10^{-5} / 2$  محاسبه شده است [۱۳] و  $K_0 = \phi \cdot (h_0 / M)^{1/2}$  پارامتر برهم کنش حلال و پلیمر است. فاصله یک انتها به انتهای دیگر زنجیر،  $h_0$  پلی آکریل آمید در آب و در محلول یک مولار سدیم کلرید از رابطه زیر محاسبه شده است [۱۰، ۱۱]:

$$K_0 = \phi \cdot (h_0 / M)^{1/2} \quad (5)$$

و نسبت مشخصه (characteristic ratio) فلوری،  $C_{\infty}$ ، از رابطه زیر محاسبه شده است [۱۰]:

$$C_{\infty} = \frac{\langle h \rangle^2}{n^2} = \frac{\langle h \rangle^2}{M} \times \frac{M_w}{n^2} \quad (6)$$

که در آن  $M_w$  وزن مولکولی تکرار شونده است ( $M_w = 71 / 0.8$ ) و برای زنجیرهای پلیمری وینیلی  $154 \text{ nm} = 0.154 \text{ nm}$  است. عامل صورتندی،  $\phi$ ، که اثر مانع فضایی را در ابعاد متوسط زنجیر نشان می‌دهد، از رابطه زیر به دست می‌آید [۱۴]:

$$\phi = (\langle h \rangle^2 / \langle h \rangle^2)^{1/2} \quad (7)$$

که در آن  $\langle h \rangle^2$  توان دوم فاصله متوسط یک انتها به انتهای دیگر زنجیر در حالت چرخش کاملاً آزاد است و از رابطه زیر محاسبه شده است [۱۵]:

$$\langle h \rangle^2 = n^2 [(1 + \cos\theta) / (1 - \cos\theta)] \quad (8)$$

چون، برای زنجیرهای پلیمری وینیلی،  $n = 154 \text{ nm} = 0.154 \text{ nm}$

واریانس (variance) کمیت  $C/\eta_{sp}$  ثابت نیست، مقادیر اندازه گیری شده برای [۷] و  $K$  خلی بکثره (biased) خواهد بود. جهت حذف این نقص روشهای متعددی توسط ناگی، کلن، تودوس (NKT) و چسی گزارش شده‌اند [۸، ۹] که دقت اندازه گیری [۷] و  $K$  را افزایش می‌دهند. همه این روشها بر پایه حداقل مربعات تحلیل شده‌اند، ولی چگونگی محاسبه خطأ در آنها متفاوت است. یکی از این کارها دقت هر چهار روش برای پلی آکریل آمید محاسبه و معلوم شده است که شکل معادله درجه دو هوگینس کمترین خطأ را دارد [۹]. از این رو، مقادیر [۷] گزارش شده برای محاسبه ابعاد مولکولی مختلف نشده پلی آکریل آمید از این معادله محاسبه شده‌اند.

## نتایج

محاسبه ابعاد مختلف نشده پلی آکریل آمید روش فیکسن - استوک مایر - بورچارد (BSF) جهت محاسبه ابعاد مختلف نشده مولکولهای پلی آکریل آمید به کار گرفته شد [۱۰، ۱۱]

$$[\eta]/M^{1/2} = K_0 + 0.51 \phi \cdot BM^{1/2} \quad (3)$$

در این رابطه  $K_0$  ثابتی است که در شرایط  $\theta$  (یا شرایط فلوری) رابطه بین [۷] و وزن مولکولی ( $M$ ) را بیان می‌کند [۱۲]:

$$[\eta]_B = K_0 \cdot M^{1/2} \quad (4)$$

و یک ثابت عمومی (universal) است که در دستگاه cgs مقدار آن

جدول ۱ - گرانزوی ذاتی و وزن مولکولی پلی آکریل آمید در محلول یک مولار سدیم کلرید با استفاده از رابطه ۱ (دماه پلیمر شدن  $50^{\circ}\text{C}$ )،  $[AM] = 0.513 \text{ mol.l}^{-1}$ ،  $[ACV] = 1/78 \times 10^{-4} \text{ mol.l}^{-1}$  و  $\phi = 0.1$  است.

$10^3 [\eta] / \bar{M}_w^{1/2}$ $(100 \text{ cm}^2 \text{ g}^{-1})$	$10^{-3} \bar{M}_w^{1/2}$	$10^{-6} \bar{M}_w$	$[\eta]$ $(100 \text{ cm}^2 \text{ g}^{-1})$	تبديل (%)	زمان واکنش (min)	شماره نمونه
۶/۰۸	۲/۰۶	۹/۲۷	۱۸/۶۱۴	۵/۱	۱۵	۵۰-۰۱
۶/۰۲	۲/۲۲	۱۰/۴۰	۲۰/۰۱۱	۱۸/۷	۳۰	۵۰-۰۲
۶/۲۴	۲/۲۸	۱۰/۷۴	۲۰/۴۵۹	۲۲/۲	۶۰	۵۰-۰۳
۵/۷۹	۲/۶۹	۷/۲۲	۱۵/۵۵۰	۶۱/۰	۱۲۰	۵۰-۰۴
۵/۷۱	۲/۵۹	۶/۷۱	۱۴/۷۸۱	۶۵/۰	۱۸۰	۵۰-۰۵
۵/۶۰	۲/۴۷	۶/۰۸	۱۲/۸۱۶	۷۲/۲	۲۴۰	۵۰-۰۶
۵/۵۱	۲/۳۶	۵/۵۸	۱۲/۰۱۲	۷۶/۷	۳۰۰	۵۰-۰۷
۵/۲۲	۲/۱۷	۴/۷۹	۱۱/۵۴۹	۸۷/۲	۳۶۰	۵۰-۰۸

$$[\eta]/100 \text{ cm}^2 \text{ g}^{-1} = 2/88 \times 10^{-4} \bar{M}_w^{1/2} \quad (11)$$

برای محاسبه ابعاد مختلف نشده پلی آکریل آمید در آب مقطر نیز همین روش مورد استفاده قرار گرفت، ولی در این مورد چهار رابطه زیر به کار گرفته شدند [۱۶-۱۹]:

$$[\eta]/100 \text{ cm}^2 \text{ g}^{-1} = 6/8 \times 10^{-4} \bar{M}_n^{1/2} \quad (12)$$

$$[\eta]/100 \text{ cm}^2 \text{ g}^{-1} = 3/72 \times 10^{-4} \bar{M}_w^{1/2} \quad (13)$$

$$[\eta]/100 \text{ cm}^2 \text{ g}^{-1} = 6/21 \times 10^{-4} \bar{M}_w^{1/2} \quad (14)$$

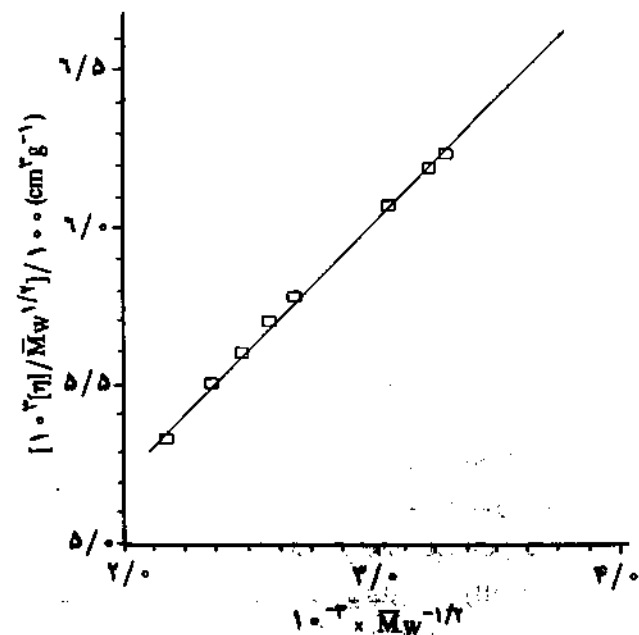
$$[\eta]/100 \text{ cm}^2 \text{ g}^{-1} = 3/09 \times 10^{-4} \bar{M}_w^{1/2} \quad (15)$$

تا  $\bar{M}_w$  و  $\bar{M}_n$  برای پلی آکریل آمید در  $25^\circ\text{C}$  محاسبه شوند. در جدولهای ۲، ۳ و ۴ نتایج این محاسبات ت Shank داده شده‌اند. در این جدولها مقدار [ACV] و [AM] برای نمونه ۱ به ترتیب  $10^{-4} \text{ mol.l}^{-1}$  و  $5.63 \text{ mol.l}^{-1}$  و برای سایر نمونه‌ها  $10^{-4} \text{ mol.l}^{-1}$  و  $2/5 \times 10^{-4} \text{ mol.l}^{-1}$  است. در صد تبدیل برای نمونه‌های ۶ و ۷ حدود ۱۰۰٪ است. در صد تبدیل خلاصه جهت خشک کردن طولانی باز هم مقداری آب همراه پلیمر بوده است.

جدول ۲ - زمان واکنش، درصد تبدیل و گرانسروی ذاتی نمونه‌های پلی آکریل آمید.

$[\eta]$ ( $100 \text{ cm}^2 \text{ g}^{-1}$ )	تبدیل (%)	زمان واکنش (min.)	شماره نمونه
۱۲/۲۷۴	۵/۱	۱۵	۱
۱۷/۶۵۱	۴۵/۳	۴۵	۲
۱۷/۷۱۲	۷۵/۰	۹۰	۳
۱۷/۵۵۷	۹۲/۰	۱۵۰	۴
۱۵/۷۵۵	۹۸/۰	۲۲۵	۵
۱۴/۶۸۷	~ ۱۰۰	۲۵۵	۶
۱۲/۵۲۶	~ ۱۰۰	۲۷۰	۷

با استفاده از رابطه ۱، عرض از مبدأ ( $K_0$ ) و ضریب زاویه ( $\phi_0 B$ ) به روش حداقل مربعات محاسبه شدند. با قرار دادن مقادیر  $K_0$  در معادله ۵،  $h_0/M^{1/2}$  محاسبه شد. این مقادیر همراه با



شکل ۱- رسم  $[\eta]/(\bar{M}_w)^{1/2}$  بر حسب پلی آکریل آمید در محلول یک مولار سدیم کلرید با استفاده از رابطه ۱۱.

است:  $n = M/m = 2M/M_u = \cos\theta = 1/3$

$$\langle h \rangle_{eff}/M = 0/30.8/\bar{M}_w^{1/2} = 0/218/m^{1/2} \quad (9)$$

که در آن  $m$  وزن مولی متوسط در هر اتصال پلیمر پلی آکریل آمید است. در نتیجه:

$$\langle h \rangle_{eff}/M = 0/0.366 \text{ nm} \quad (10)$$

بدین ترتیب، بهترین مقدار گرانسروی ذاتی پلیمر در آب مقطر و در محلول یک مولار سدیم کلرید، جهت محاسبه ابعاد مختلف نشده مولکول پلی آکریل آمید، انتخاب شد (جدول ۱). نمونه‌ای از منحنی  $[\eta]/M^{1/2}$  بر حسب  $[\eta]$  برای پلی آکریل آمید در محلول یک مولار سدیم کلرید در شکل ۱ آمده است. برای محاسبه  $\bar{M}_w$  از رابطه زیر استفاده شد [۱۶]:

جدول ۳ - محاسبه  $\bar{M}_w^{1/2}$  و  $[\eta]/\bar{M}_w^{1/2}$  با استفاده از روابط ۱۲ و ۱۵.

$[\eta]/100 \text{ cm}^3 \text{ g}^{-1} = 1/\lambda \times 10^{-4} \bar{M}_n^{1/2}$	$[\eta]/100 \text{ cm}^3 \text{ g}^{-1} = 3/09 \times 10^{-4} \bar{M}_w^{1/2}$	شماره نمونه				
$10^{-4} \times \bar{M}_n$	$10^{-3} \times \bar{M}_n^{1/2}$	$10^2 \times ([\eta]/\bar{M}_n^{1/2})$ ( $100 \text{ cm}^3 \text{ g}^{-1}$ )	$10^{-4} \times \bar{M}_w$	$10^{-3} \times \bar{M}_w^{1/2}$	$10^2 \times ([\eta]/\bar{M}_w^{1/2})$ ( $100 \text{ cm}^3 \text{ g}^{-1}$ )	
۴/۲۰	۱/۷۹	۷/۴۷	۸/۲۱	۲/۸۸	۴/۶۴	۱
۴/۸۸	۲/۲۱	۸/۰۰	۱۲/۵۸	۲/۵۵	۴/۹۸	۲
۴/۹۰	۲/۲۱	۸/۰۰	۱۲/۶۵	۲/۵۶	۴/۹۸	۳
۴/۸۴	۲/۲۰	۷/۹۸	۱۲/۴۸	۲/۵۳	۴/۹۷	۴
۴/۱۱	۲/۰۳	۷/۷۷	۱۰/۶۲	۲/۲۶	۴/۲۳	۵
۴/۶۹	۱/۹۲	۷/۶۴	۹/۵۶	۲/۰۹	۴/۷۵	۶
۴/۲۶	۱/۸۱	۷/۴۸	۸/۴۷	۲/۹۱	۴/۶۵	۷

الف - داده‌های ارائه شده توسط کالیشنون و همکاران به صورت  $M_n$  در حدود ۱۳,۰۰۰ تا ۴۰۰,۰۰۰ است و نمونه‌های پلیمری جزء به جزء نشده مورد استفاده قرار گرفته‌اند. پلیمر شدن با پرتوهای X و ع آغاز شد و وزن مولکولی توسط یونهای آهن (III) کنترل شده‌اند. در نتیجه، در این تجربه احتمال تشکیل شبکه‌های سه بعدی به وسیله کمپلکس آکریل آمید - آهن (III) از یونهای آهن باقیمانده در پلیمر وجود داشته است.

ب - داده‌های ارائه شده توسط شولتان، به صورت  $\bar{M}_w$  و در حدود ۱۰,۰۰۰ تا یک میلیون است.

ج - داده‌های ارائه شده توسط میرزا به صورت  $\bar{M}_w$  و در حدود ۴۰,۰۰۰ تا ۱,۲۷۰,۰۰۰ است و پلیمر شدن با استفاده از سیستم

$C_{\infty}$  و  $\sigma$  در جدول ۵ ارائه شده‌اند.

بحث و نتیجه‌گیری

پارامترهای مربوط به ابعاد مختلف نشده پلی‌آکریل آمید در آب مقطر توسط پژوهشگران مختلف گزارش شده‌اند (جدول ۶).

اساس محاسبات این پژوهشگران را داده‌های گرانروی سنگی کالیشنون و همکاران [۱۷] و شولتان و همکاران [۱۸] تشکیل داده است. میرزا و همکاران [۱۹] با استفاده از نتایج گرانروی سنگی خود این پارامترها را محاسبه کرده‌اند.

برای درک بهتر هر یک از این محاسبات، به ویژگی داده‌های ارائه شده توسط این پژوهشگران اشاره می‌شود:

جدول ۴ - محاسبه  $\bar{M}_w^{1/2}$  و  $[\eta]/\bar{M}_w^{1/2}$  با استفاده از روابط ۱۳ و ۱۴.

$[\eta]/100 \text{ cm}^3 \text{ g}^{-1} = 1/21 \times 10^{-5} \bar{M}_w^{1/2}$	$[\eta]/100 \text{ cm}^3 \text{ g}^{-1} = 3/72 \times 10^{-4} \bar{M}_w^{1/2}$	شماره نمونه				
$10^{-4} \times \bar{M}_w$	$10^{-3} \times \bar{M}_w^{1/2}$	$10^2 \times ([\eta]/\bar{M}_w^{1/2})$ ( $100 \text{ cm}^3 \text{ g}^{-1}$ )	$10^{-4} \times \bar{M}_w$	$10^{-3} \times \bar{M}_w^{1/2}$	$10^2 \times ([\eta]/\bar{M}_w^{1/2})$ ( $100 \text{ cm}^3 \text{ g}^{-1}$ )	
۴/۵۵	۲/۱۳	۶/۲۷	۰/۹۶	۲/۸۲	۴/۷۴	۱
۶/۴۲	۲/۵۴	۶/۹۶	۱۲/۱۲	۲/۴۸	۵/۰۷	۲
۶/۴۶	۲/۵۴	۶/۹۷	۱۲/۱۸	۲/۴۹	۵/۰۷	۳
۶/۳۹	۲/۵۲	۶/۹۴	۱۲/۰۲	۲/۴۷	۵/۰۶	۴
۵/۵۸	۲/۲۲	۶/۶۷	۱۰/۲۰	۲/۱۹	۴/۹۲	۵
۵/۱۱	۲/۲۶	۶/۵۰	۹/۱۷	۲/۰۲	۴/۸۵	۶
۴/۶۲	۲/۱۵	۶/۳۰	۸/۱۱	۲/۸۵	۴/۷۵	۷

جدول ۵ - پارامترهای مربوط به ابعاد مختلف نشده پلی‌اکریل آمید در آب مقطر و در محلول یک مولار سدیم کلرید (الف).

(۱۵)	(۱۳)	(۱۴)	(۱۲)	(۱۱) <sup>ب)</sup>	پارامترها
[۱۶]	[۱۹]	[۱۸]	[۱۷]	[۱۶] ج	
آب	آب	آب	آب	محلول ۱M سدیم کلرید	
$(5/07 \pm 0/02) \times 10^{-7}$	$(4/91 \pm 0/06) \times 10^{-7}$	$(17/07 \pm 0/12) \times 10^{-7}$	$(17/18 \pm 0/11) \times 10^{-7}$	$(8/08 \pm 0/14) \times 10^{-7}$	$\text{شب} (\text{cm}^3 \text{g}^{-2})$
$(0/318 \pm 0/001)$	$(0/224 \pm 0/002)$	$(0/265 \pm 0/004)$	$(0/519 \pm 0/003)$	$(0/360 \pm 0/004)$	$(\text{cm}^3 \text{mol}^{1/2} \text{g}^{-2/3}) K_0$
$1/83 \times 10^{-2}$	$1/03 \times 10^{-2}$	$1/19 \times 10^{-2}$	$12/76 \times 10^{-2}$	$11/49 \times 10^{-2}$	$[<h>_o/M]^{1/2}$
$(\text{nm} \cdot \text{mol}^{1/2} \text{g}^{-1/2})$					
۱۷/۵۸	۱۸/۲۴	۱۵/۵۶	۲۴/۴۰	۱۹/۱۰	$C_\infty = <h>_o^{1/2} / nL^2$
$2/96$	$2/01$	$2/78$	$2/49$	$2/08$	$= \frac{[<h>_o^{1/2} M]}{M} \times \frac{1}{nL^2}$
$2/98 \times 10^{-28}$	$2/89 \times 10^{-28}$	$1/33 \times 10^{-27}$	$9/96 \times 10^{-28}$	$6/9 \times 10^{-28}$	$\sigma$
					$B = \frac{\text{شب}}{0/51\phi_0} (\text{cm}^3 \text{mol}^{1/2})$

(الف)  $\phi = 2/5 \times 10^{-23} \text{ mol}^{-1}$  در دستگاه آحاد cgs، (ب) شماره روابط ریاضی آمده در من و (ج) شماره مراجع.

مولکولی نسبتاً پائین ( $12,400 - 400,000$ ) است که برای کار حاضر قابل استفاده نیست.

با توجه به نتایج ارائه شده در جدول ۶ می‌توان نتیجه گرفت که کارهای گزارش شده توسط استوک مایر [۲۰]، وینستون [۲۱] و کالیکت [۵] به دلیل به کار بودن رابطه  $\bar{M}_w - \bar{M}_n$ -[۷] کالینسون مورد تردیدند. داده‌های گرانزوی سنجی شولتان [۱۸] که توسط وینستون [۲۱] و کالیکت [۵] تحلیل شده‌اند به دلیل اینکه نمونه‌های پلیمری جزء به جزء شده بوده‌اند، با نتایج کار حاضر قابل مقایسه نیستند. همچنان نتایج کارهای میسرا [۱۹] را، که برای نمونه‌های جزء به جزء شده و با وزن مولکولی نسبتاً کم ارائه شده است، نمی‌توان با نتایج کار حاضر

اکسایشی و کاهشی پرمگناٹ - اکسالیک اسید و در  $35^\circ\text{C}$  انجام شده است.

در کار حاضر پلیمر جزء به جزء نشده و وزن مولکولی آن نسبتاً بالاست، از این رو برای آب مقطر فقط معادله ۱۵ و برای محلول یک مولار سدیم کلرید معادله ۱۱، که برای پلیمرهای جزء به جزء نشده با وزن مولکولی نسبتاً بالا گزارش شده‌اند، مورد استفاده قرار گرفته‌اند. زیرا، اعتبار آن دو برای کار حاضر پیش از سایر معادلات است. نتایج حاصل برای محلول پلی‌اکریل آمید در آب مقطر و در محلول یک مولار سدیم کلرید در جدول ۵ ارائه شده‌اند.

رابطه گرانزوی ذاتی - وزن مولکولی ( $\bar{M}_n - \bar{M}_w$ ) که توسط کالینسون گزارش شده است برای پلیمر جزء به جزء نشده و وزن

جدول شماره ۶ - پارامترهای مربوط به ابعاد مختلف نشده پلی‌اکریل آمید در آب مقطر که توسط سایر پژوهشگران محاسبه شده‌اند.

داده‌های میسرا [۱۹]	داده‌های شولتان		داده‌های کالینسون			پارامترها	
	[۱۸]		[۱۷]				
	[۲۱]	[۵]	[۲۰]	[۲۱]	[۵]		
-	$0/0789$	$0/079$	$0/260 \pm 0/040$	$0/278$	$0/278$	$(\text{cm}^3 \text{mol}^{1/2} \text{g}^{-3/2}) K_0$	
$0/0862$	$0/065$	$0/0681$	$0/100 \pm 0/005$	$0/099$	$0/104$	$(\text{nm} \cdot \text{mol}^{1/2} \text{g}^{-1/2}) [<h>_o^{1/2} / M]^{1/2}$	
$11/14$	$6/22$	$6/94$	$14/8$	$14/7$	$16/2$	$C_\infty = <h>_o^{1/2} / nL^2$	
$2/26$	$1/77$	$1/86$	$2/72 \pm 0/10$	$2/70$	$2/83$	$\sigma$	
$2/98 \times 10^{-27}$	-	-	-	-	-	$(\text{cm}^3 \text{mol g}^{-1}) B$	
-	-	-	$0/0367$	-	-	$(\text{nm} \cdot \text{mol}^{1/2} \text{g}^{-1/2}) [<h>_o f^3 / M]^{1/2}$	

- 2 Bikales N.M., *Polymer Science and Technology, Water Soluble Polymers*, 2, Plenum Press, New York , 1973.
- ۳ محمد حسین رفیعی فنود، بازیابی بهیه نفت و پلی آکریل آمید، مجله علوم و تکنولوژی پلیمر، سال دوم ، شماره چهارم ، بهمن ۱۳۶۸ .
- 4 Shawki S.M. and Hamielec A.E , *J.Appl. Polym. Sci.*, 23 , 3323 , 1979.
- 5 Kulicke W.M., Knieweke R. and Klein , *J.Prog. Polym. Sci.*, 8 , 373 , 1982.
- 6 Huggins M.L , *J. Am. Chem. Soc.*, 64 , 2716 ,1942.
- 7 Nagy T.T. , Kelen T. and Tudos F. , *Polymer* , 19 , 1360 , 1978.
- 8 Chee K.K. , *J. Appl. Polym. Sci.*, 30 , 2607, 1985.
- 9 Rafiee Fanood M.H. and George M.H. , *Polymer* , 28 , 2243, 1987.
- 10 Burchard V.W , *Makromol. Chem.*, 50, 20 , 1961.
- 11 Stockmayer W.H. and Fixman M. , *J.Polym. Sci.*, C-1 ,137 , 1963.
- 12 Flory P.F. , *Principle of Polymer Chemistry*, Cornell University Press, Ithaca, New York, 1953.
- 13 Yamakawa H. , *Modern Theory of Polymer Solution*, Harpen and Row , New York, 1971.
- 14 Flory P.F. , *Statistical Mechanics of Chain Molecules* , Wiley, London , 1969.
- 15 Brandrup J. and Immergut E.H. (eds.) , *Polymer Handbook* , 2nd (Ed.) , Wiley - Interscience, New York, 1975.
- 16 Munk P. et al , *Macromolecules* , 13 , 871 , 1980.
- 17 Collinson E. et al , *Trans. Faraday Soc.* , 53,477, 1957.
- 18 Scholtan W., *Makromol. Chem.*, 14, 169, 1954.
- 19 Misra G.S. et al , *Eur. Polym. J.*, 15, 125, 1979.
- 20 Stockmayer W.H. et al , *Adv. Polym. Sci.*, 3 , 196 , 1963.
- 21 Winston A. et al ; *J. Polym. Sci., Polym. Letter (Ed.)*; 18; 119, 1980.
- 22 Rafiee Fanood M.H. and George M.H., *Polymer*, 29, 134, 1988.
- 23 Dandos A. et al , *Macromolecules*, 4, 3 , 279, 1971.

مقایسه کرد.

نکته مهم دیگر اینکه روش BSF برای پلیمرهای خطی داده شده است، ولی رابطه ۳ را می توان برای پلیمرهای خطی جزء به جزء شده و جزء به جزء نشده نیز به کار برد. ولی در کار حاضر، نمونه های پلی آکریل آمیدی که مورد تجزیه و تحلیل قرار گرفته اند دارای درجه تبدیل ۵ تا ۱۰۰ % و پلیمرها تا حدودی شاخه دار بوده اند [۲۲] با این حال جای تعجب است که چرا منحنی  $\eta/M_w^{1/2}$  [۷] بر حسب  $M_w^{1/2}$  در محلول یک مolar سدیم کلرید، خطی مستقیم به دست داده است.

در این پژوهش، شکل ساده ای از رابطه BSF به کار گرفته شد (رابطه ۳)، هر چند رابطه دیگری هم گزارش شده است [۵] نتایج حاصل از تجزیه و تحلیل با توجه به داده های گرانزوی سنجی کار حاضر که در جدول ۵ آمده است، معلوم می شود که تغیر حلal از آب مقطر به محلول یک مolar سدیم کلرید سبب افزایش اندازه زنجیر پلیمر می شود، به طوری که مقدار  $\eta/M_w^{1/2}$   $\text{nm} \cdot \text{mol}^{-1/2} \text{g}^{-1/2} \text{dm}^3$  از  $\langle h \rangle^2 / M$  باز

۱۰۸ به ۱۱۳ به افزایش می یابد. در صورت به کار بردن تجزیه دندوس و همکارانش [۲۳] مشاهده می شود که با افزودن یونهای  $\text{Na}^+$  و  $\text{Cl}^-$  به آب مقطر، بر هم کنش بین مولکولهای حلal (آب) و گروههای جانبی مولکول (-CONH<sub>2</sub>) به علت اثر دو قطبی -دو قطبی و احتمالاً پیوند هیدروژنی، افزایش می یابد. بدین ترتیب، حجم مولی مؤثر گروه جانبی افزایش و توانایی چرخش آزاد آن حول محور C-C زنجیر اصلی، کاهش می یابد. از این رو، زنجیر پلی آکریل آمید سفت تر شده و فاصله انتهایها به انتهای آن بیشتر می شود.

همان طور که از جدول ۵ پیداست، افزایش همزمان مقدار  $\eta$  (عرض از مبدأ) ،  $\sigma$  (نسبت بین ابعاد حقیقی مخلل شده و مقدار محاسبه شده با صرف نظر کردن از ممانعت فضایی و فرض چرخش آزاد)، B (پارامتر بر هم کنش حلal - پلیمر) و  $C_{\text{ee}}$  نیز مشاهده می شود. طبق نظریه دندوس و همکاران بر هم کنش بین آب و گروه جانبی  $(\text{H}_2\text{O}-\text{CONH}_2)$  در محیطهای یونی (یا قطبی) مقدار پارامترهای یاد شده را افزایش می دهد و با این واقعیت تناقضی ندارد که در محلولهای غلیظ پلی آکریل آمید، پیوند هیدروژنی بین مولکولی (بین گروههای  $\text{C}=\text{O}$  و  $\text{H}-\text{NH}-\text{Na}^+$  و  $\text{Cl}^-$  به هنگام کاهش می یابد).

## مراجع

- 1 Thomas W.M.; *Encyclopedia of Polymer Science and Technology, Acrylamide Polymers* ; Bikales N.M. (ed.);1; Wiley & Sons Inc.; New York , 1964.